

# Proton mass decomposition

arXiv:1710.09011v1

賀数 淳平

# Introduction

陽子についてのいろいろな謎

例

陽子の荷電半径：なぜ2つの実験で $7\sigma$  (4%)も異なるのか

陽子のスピン問題：クォークスピンの寄与が非常に小さい

陽子の質量起源：相互作用が陽子の質量にどれだけ寄与しているか

etc...

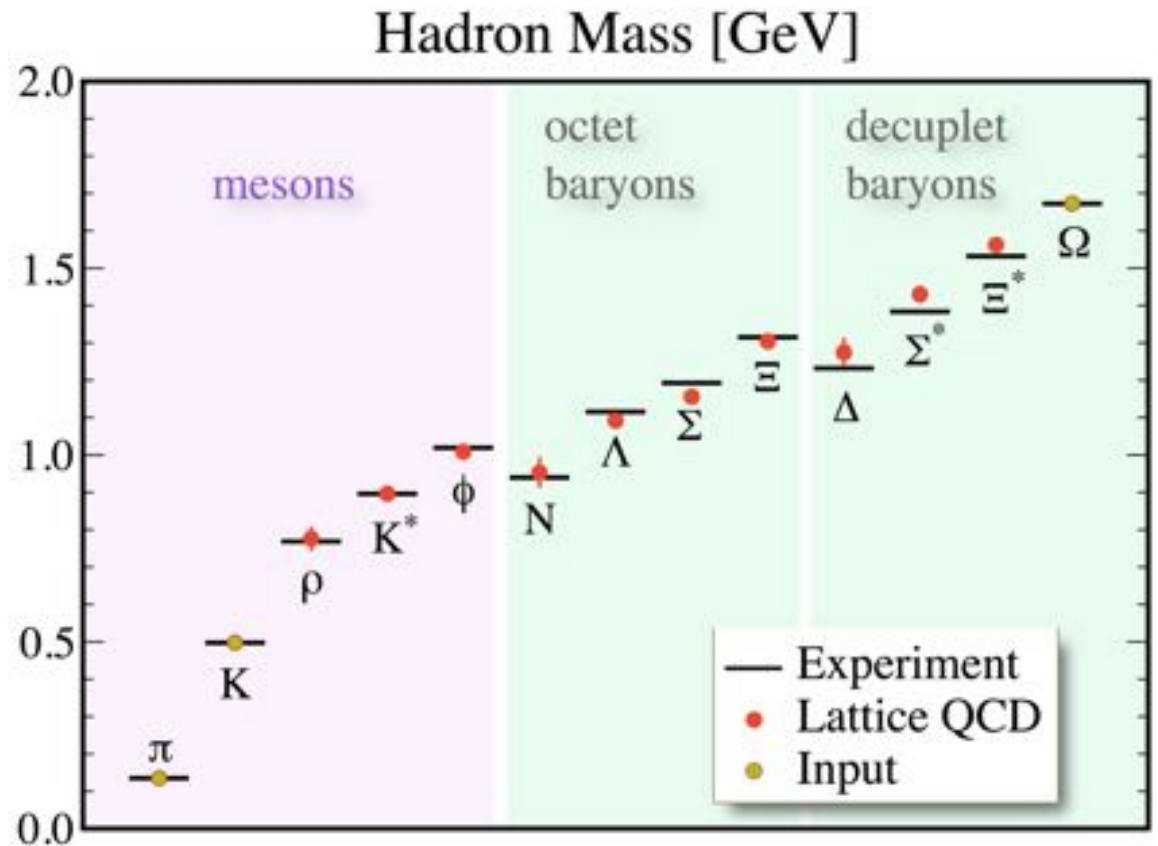
# Introduction

ハドロン

→クォーク+グルーオン

クォーク質量：数MeV

核子質量：938MeV



相互作用の効果が非常に大きい！

→クォーク-グルーオンの相互作用や陽子の中でのグルーオンの自己相互作用がどれだけ陽子質量に関わるか？

# Introduction

色々わからない陽子の第一原理計算

陽子の荷電半径：誤差は大きいですが2つの実験値と無矛盾

arXiv:1710.10782

陽子のスピン問題：誤差は大きいですが $J_N=1/2$ を再現

PRL 119, 142002 (2017)

陽子の質量起源：？

arXiv:1710.09011v1

# Mass decomposition

Phys. Rev. Lett. 74, 1071 (1995)

エネルギー—運動量テンソル (EMT in Euclidean space)

$$T_{\mu\nu}^q = \frac{1}{2} \bar{\psi} (\gamma_\mu D_\nu + \gamma_\nu D_\mu) \psi - \delta_{\mu\nu} \bar{\psi} (\gamma_\rho D_\rho - m) \psi$$

$$T_{\mu\nu}^g = F_{\mu\rho} F_{\rho\nu} - \frac{1}{4} \delta_{\mu\nu} F^2$$

$$T_{\mu\nu} = T_{\mu\nu}^g + T_{\mu\nu}^q \quad \rightarrow \quad H_{QCD} = - \int d^3x T_{44}(\vec{x})$$

$$\text{陽子の質量} : \quad -M = \frac{\langle P | \int d^3x T_{44}(\vec{x}) | P \rangle}{\langle P | P \rangle} \equiv \langle T_{44} \rangle$$

$$\text{※規格化条件} : \langle P | P \rangle = \frac{E}{M} (2\pi)^3 \delta^3(\vec{0})$$

# Mass decomposition

EMTをtraceless partとtrace partに分解

$$T_{\mu\nu} = \bar{T}_{\mu\nu} + \hat{T}_{\mu\nu}$$

行列要素は以下の通り (Peskin 18.5 p.630, p.642)

$$\langle P | T_{\mu\nu} | P \rangle = -P_\mu P_\nu / M$$

$$\langle P | \hat{T}_{\mu\nu} | P \rangle = -\frac{1}{4} \delta_{\mu\nu} M \quad \langle P | \bar{T}_{\mu\nu} | P \rangle = -\frac{1}{M} \left( P_\mu P_\nu - \frac{1}{4} \delta_{\mu\nu} M^2 \right)$$

以上から陽子の質量は以下のように分解できる

$$\langle \hat{T}_{44} \rangle = -\frac{1}{4} M \quad \langle \bar{T}_{44} \rangle = -\frac{3}{4} M$$

# Mass decomposition

traceless part  $\rightarrow$  quark part と gluon part に分解

$$\bar{T}_{\mu\nu} = \bar{T}_{\mu\nu}^g + \bar{T}_{\mu\nu}^q$$

行列要素は以下の通り (Peskin 18.5, p.642)

$$\langle P | \bar{T}_{\mu\nu}^f | P \rangle = -\frac{\langle x \rangle_f(\mu)}{M} \left( P_\mu P_\nu - \frac{1}{4} \delta_{\mu\nu} M^2 \right), (f = q, g)$$

Momentum fraction (Peskin 17.3-17.5) :  $\langle x \rangle_f(\mu)$

$$\langle x \rangle_f(\mu) = \int_0^1 dx \ x f_f(x, \mu), \quad \sum_{f=q,g} \langle x \rangle_f(\mu) = 1$$

よって traceless part の質量の寄与は以下の通り

$$\langle \bar{T}_{44}^f \rangle = -\frac{3}{4} M \langle x \rangle_f(\mu)$$

# Mass decomposition

trace partについて

トレースアノマリ — (Peskin 19.5)

$$\hat{T}_{\mu\nu} = \frac{1}{4}\delta_{\mu\nu} \left\{ -(1 + \gamma_m)m\bar{\psi}\psi + \frac{\beta(g)}{g}(E^2 + B^2) \right\}$$

$$\hat{T}_{44} = \frac{1}{4} \left\{ -(1 + \gamma_m)m\bar{\psi}\psi + \frac{\beta(g)}{2g}(E^2 + B^2) \right\} \quad \bar{T}_{44} = \frac{1}{2}(E^2 - B^2) + \bar{\psi}(\gamma_4 D_4)\psi + \frac{1}{4}m\bar{\psi}\psi$$

以上より Hamiltonian は以下のように分解できる

$$H_{QCD} = - \int d^3x T_{44}(\vec{x}) = H_q + H_g + H_m^\gamma + H_g^a$$

$$H_q = \int d^3x \bar{\psi}(\gamma_4 D_4)\psi \quad H_m^\gamma = \int d^3x \frac{1}{4}\gamma_m m\bar{\psi}\psi$$

$$H_g = \int d^3x \frac{1}{2}(B^2 - E^2) \quad H_g^a = \int d^3x \frac{-\beta(g)}{4g}(E^2 + B^2)$$



# Mass decomposition

さらにクォーク場の運動方程式を用いて $H_q$ を書き直すと

$$H_E = \int d^3x \bar{\psi}(\vec{\gamma} \cdot \vec{D})\psi \quad H_m = \int d^3x m \bar{\psi}\psi$$

$$H_E + H_m = H_q$$

陽子の質量は以下の要素に分解できる

$$M = -\langle T_{44} \rangle = \langle H_q \rangle + \langle H_g \rangle + \langle H_a \rangle + \langle H_m^\gamma \rangle$$

$$= \langle H_E \rangle + \langle H_m \rangle + \langle H_g \rangle + \langle H_a \rangle,$$

$$\frac{1}{4}M = -\langle \hat{T}_{44} \rangle = \frac{1}{4} \langle H_m \rangle + \langle H_a \rangle$$

※但し  $H_g^a + H_m^\gamma = H_a$

# set up

## 2+1 Domain Wall (sea quarks)

Symbol	$L^3 \times T$	a (fm)	$m_s^{(s)}$	$m_\pi$	$N_{cfg}$
24I	$24^3 \times 64$	0.1105(3)	120	330	203
32I	$32^3 \times 64$	0.0828(3)	110	300	309
32ID	$32^3 \times 64$	0.1431(7)	89.4	171	200
48I	$48^3 \times 96$	0.1141(2)	94.9	139	81

$$m_\pi L > 3.8$$

## Overlap (valence quarks)

$m_\pi \in (250, 400)\text{MeV}$       5 quark masses on the 24I and 32I

$m_\pi \in (140, 400)\text{MeV}$       6 quark masses on the 32ID and 48I

## HYP smearing (5 steps)

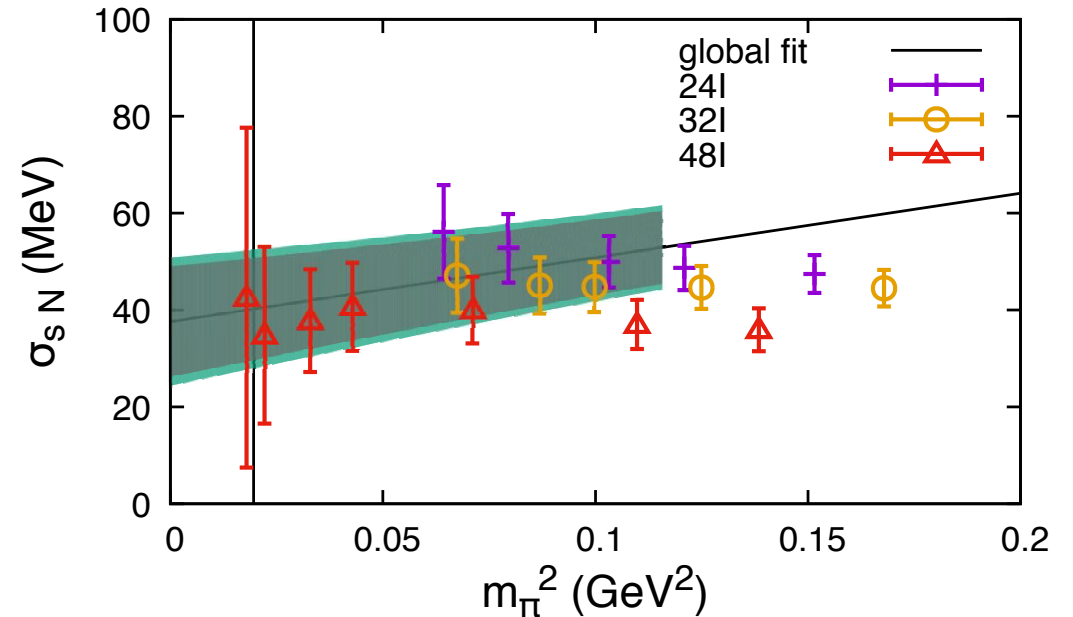
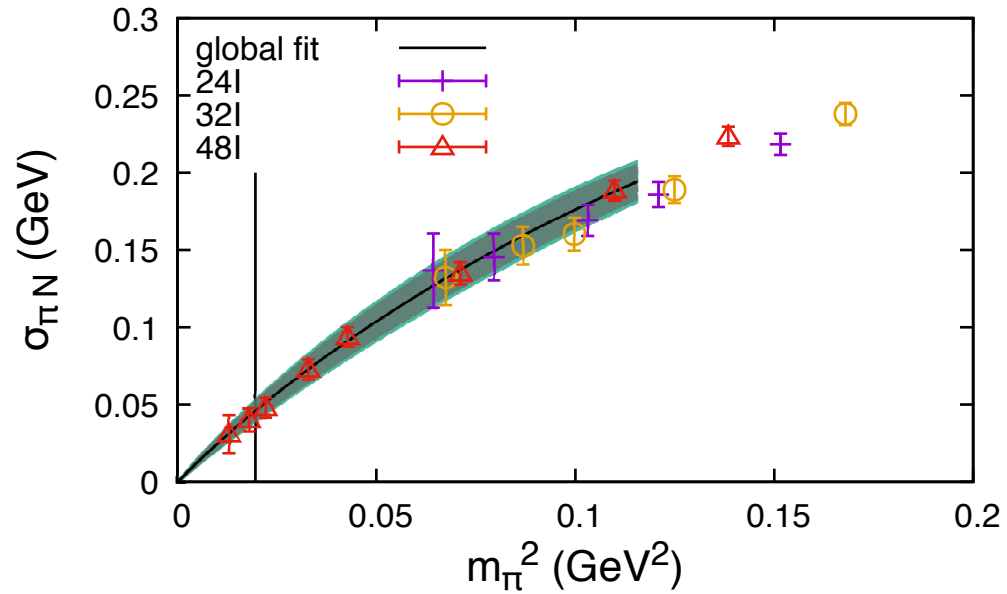
※Gradient flow 未使用

※MS bar (2GeV)での結果

# Result

クォーク質量の寄与  $\langle H_m \rangle$

Phys. Rev. D 94, 054503 (2016)



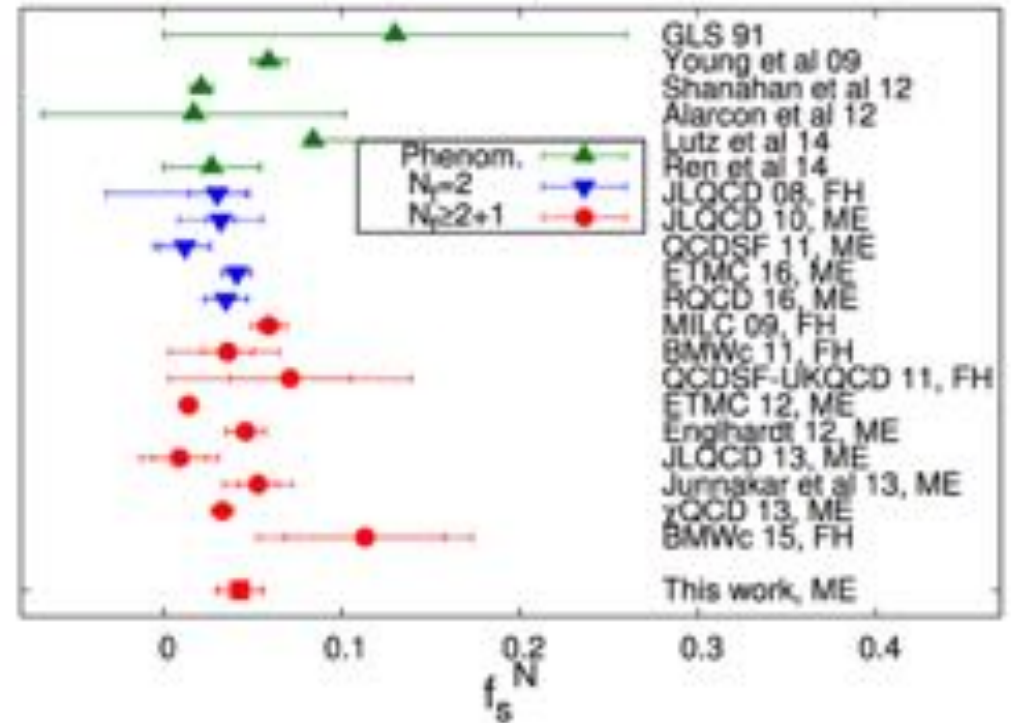
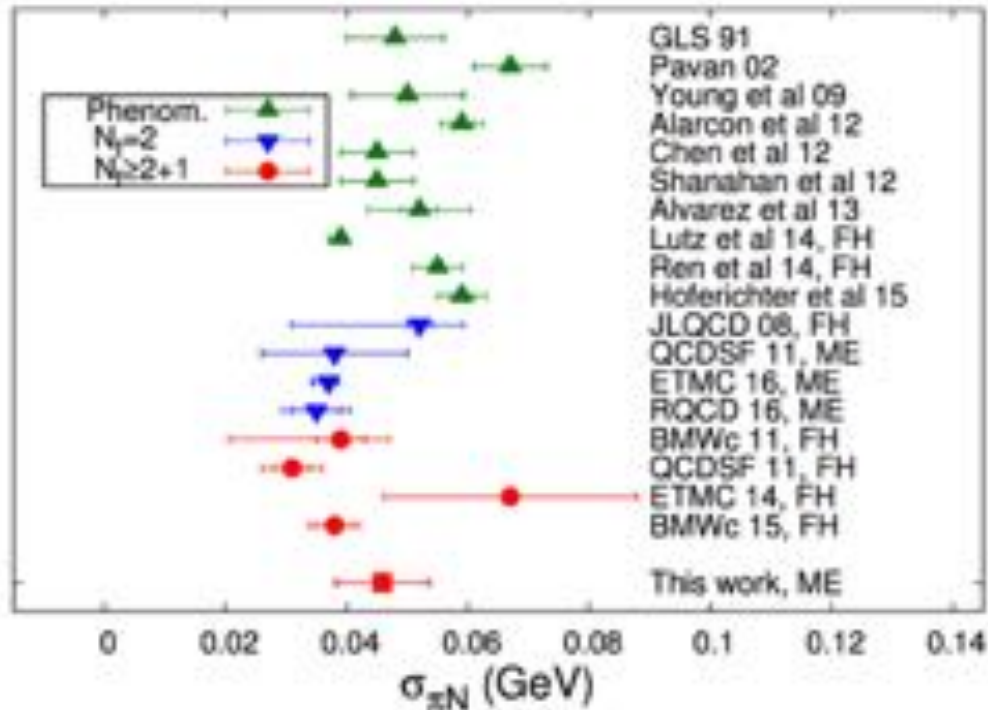
ここでは、 $\sigma$ 項の計算結果を流用している

$$\sigma_{\pi N} \equiv \hat{m} \langle N | \bar{u}u + \bar{d}d | N \rangle$$

$$\sigma_{sN} \equiv m_s \langle N | \bar{s}s | N \rangle, \quad f_s^N = \frac{\sigma_{sN}}{m_N}.$$

# Result

## クォーク質量の寄与



## クォーク質量の寄与

$$\langle H_m \rangle / M = (45.9 + 40.2) / 938 = 0.09(2)$$

QCD アノマリーの寄与は自動的に決まる  $\langle H_a \rangle / M = 0.23(1)$

# Result

Longitudinal momentum fraction

$$R(t_f, t) = \frac{\langle 0 | \int d^3 y \Gamma^e \chi(\vec{y}, t_f) \mathcal{O}(t) \sum_{\vec{x} \in G} \tilde{\chi}_s(\vec{x}, 0) | 0 \rangle}{\langle 0 | \int d^3 y \Gamma^e \chi(\vec{y}, t_f) \sum_{\vec{x} \in G} \tilde{\chi}_s(\vec{x}, 0) | 0 \rangle}$$

$\chi$ : standard proton interpolation field

$\tilde{\chi}_s$ : gaussian smearing field

$\Gamma^e$ : unpolarized projection operator

traceless diagonal part

$$\langle x \rangle_{q,g}^{\text{tr}} \equiv \frac{\text{Tr}[\Gamma^e \langle N | \frac{4}{3} \bar{T}_{44}^{q,g} | N \rangle]}{M \text{Tr}[\Gamma^e \langle N | N \rangle]},$$

$$\bar{T}_{44}^q = \int d^3 x \bar{\psi}(x) \frac{1}{2} \left( \frac{3}{4} \gamma_4 \overleftrightarrow{D}_4 - \frac{1}{4} \sum_{i=1,2,3} \gamma_i \overleftrightarrow{D}_i \right) \psi(x), \quad \bar{T}_{44}^g = \int d^3 x \frac{1}{2} (B(x)^2 - E(x)^2),$$

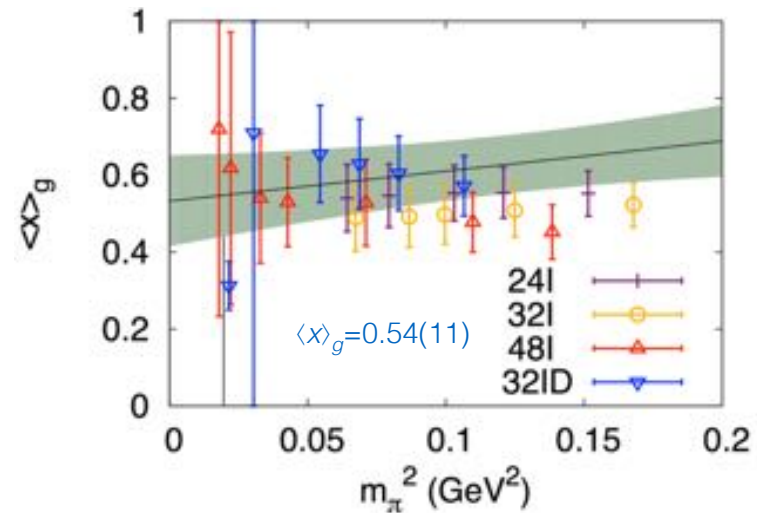
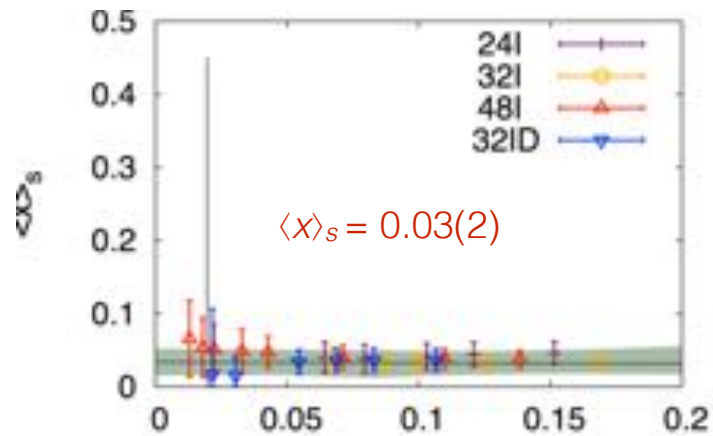
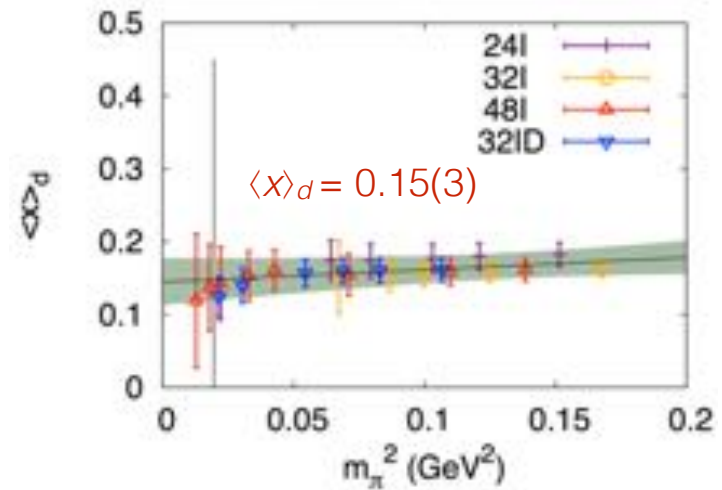
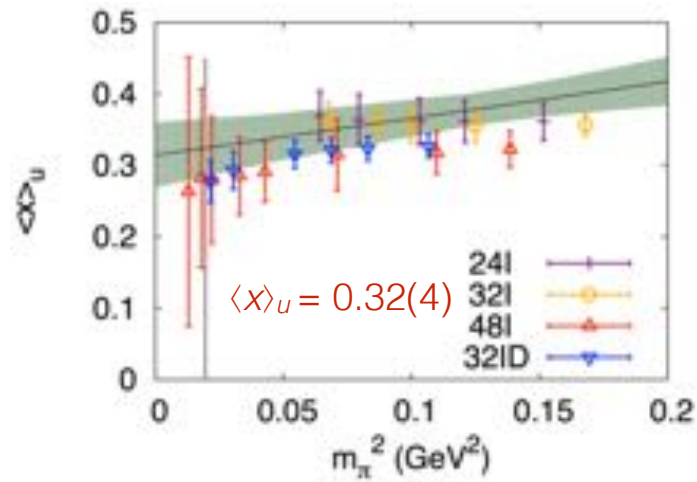
off-diagonal part

$$\langle x \rangle_{q,g}^{\text{off}} \equiv \frac{\text{Tr}[\Gamma^e \langle P | T_{4i}^{q,g} | P \rangle]}{P_i \text{Tr}[\Gamma^e \langle P | P \rangle]}$$

$$T_{4i}^q = \int d^3 x \bar{\psi}(x) \frac{1}{4} \gamma_{\{4} \overleftrightarrow{D}_{i\}} \psi(x), \quad T_{4i}^g = \int d^3 x \epsilon_{ijk} E_j(x) B_k(x).$$

# Result

## Longitudinal momentum fraction

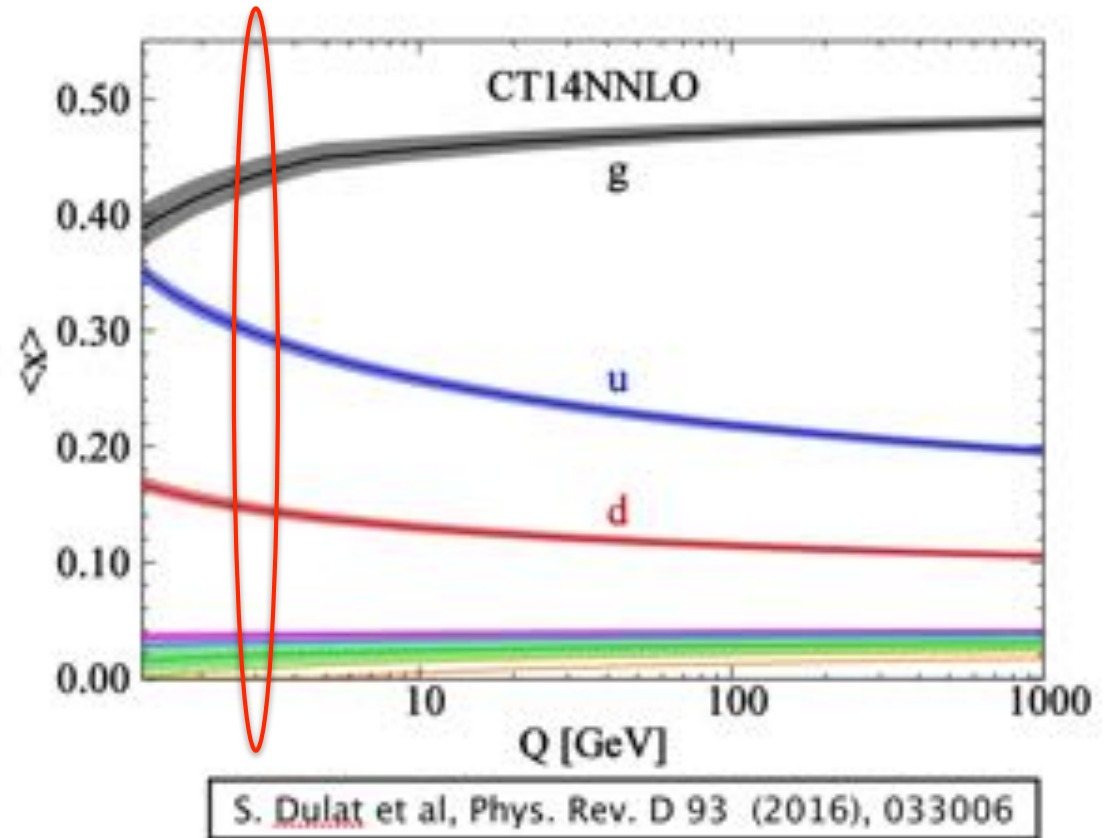
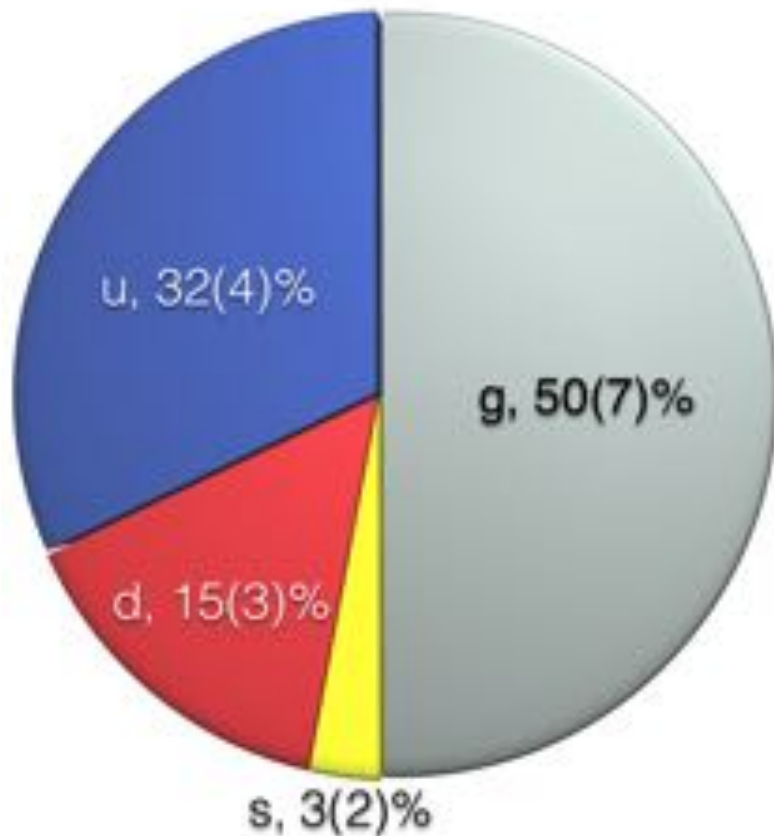


※繰り込みスケールが異なるのでoperator mixingの解析が必要

# Result

operator mixing analysisした結果

arXiv: 1612.02855



Momentum fraction は実験値と概ね一致

# Result

Longitudinal momentum fraction

→クォークやグルーオンのエネルギー

クォークのエネルギーの寄与

$$\langle H_E \rangle = \frac{3}{4} \langle x \rangle_q M - \frac{3}{4} \langle H_m \rangle \rightarrow \langle H_E \rangle / M = 0.31(5)$$

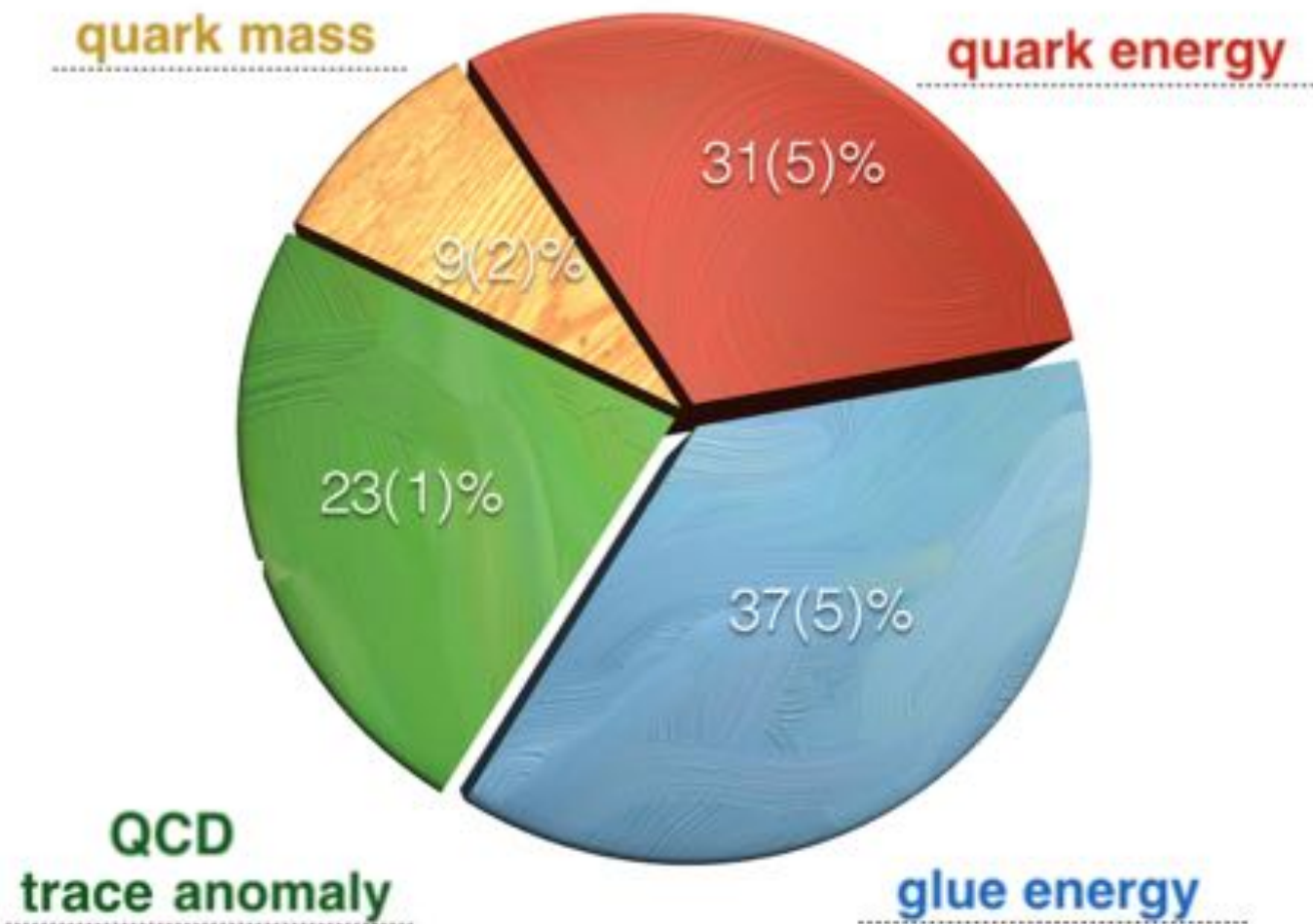
グルーオンのエネルギーの寄与

$$\langle H_g \rangle = \frac{3}{4} \langle x \rangle_g M \rightarrow \langle H_g \rangle / M = 0.37(5)$$



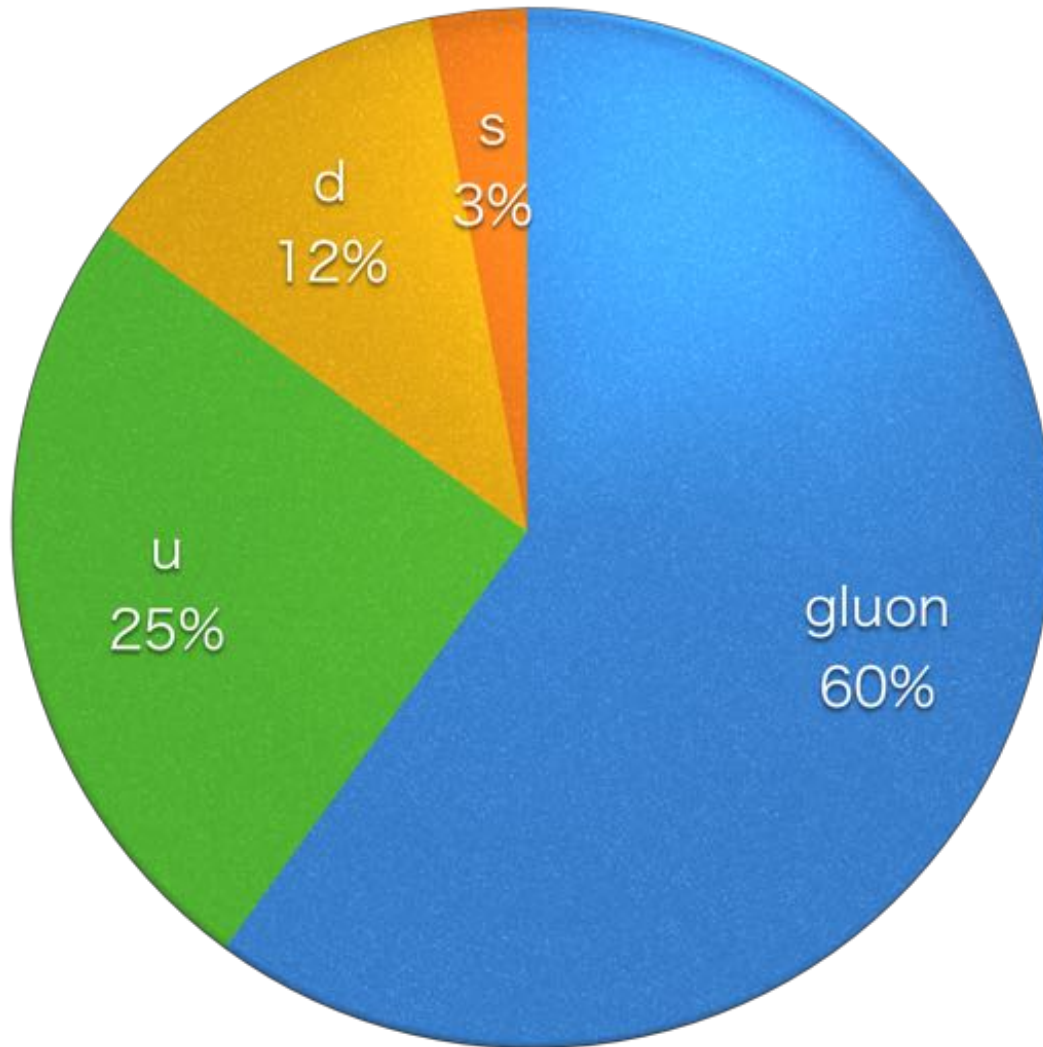
# Result

Hamiltonianのタイプ別の寄与



# Result

## 粒子別の寄与



クォークの寄与は

$$\langle H_E \rangle + \langle H_m \rangle$$

グルーオンの寄与は

$$\langle H_g \rangle + \langle H_a \rangle$$

で見積もった

# Summary

Lattice QCDで陽子の質量起源を複数の格子間隔、 $\pi$ 中間子質量(殆ど物理点での値も含む)の下で計算した

寄与は以下の通り

$$\langle H_g \rangle / M = 0.37(5)$$

$$\langle H_a \rangle / M = 0.23(1)$$

$$\langle H_E \rangle / M = 0.31(5)$$

$$\langle H_m \rangle / M = 0.09(2)$$

※重いクォークの効果を入れていない

PS/Vメソンも同様の解析を行っている

Phys Rev D.91.074516

back up

# Result

$$\begin{pmatrix} \overline{\mathcal{T}}_Q^{\overline{\text{MS}}} \\ \overline{\mathcal{T}}_G^{\overline{\text{MS}}} \end{pmatrix} = \begin{pmatrix} 1.0202 & 0.0123N_f \\ 0.1565 & 2.08(25) - 0.0239N_f \end{pmatrix} \begin{pmatrix} \overline{\mathcal{T}}_Q^{\text{lat}} \\ \overline{\mathcal{T}}_G^{\text{lat}} \end{pmatrix} + O(g^4),$$

the off-diagonal part of  $\overline{\mathcal{T}}^{\mu\nu}$

$$\begin{pmatrix} \overline{\mathcal{T}}_Q^{\overline{\text{MS}}} \\ \overline{\mathcal{T}}_G^{\overline{\text{MS}}} \end{pmatrix} = \begin{pmatrix} 1.0175 & -0.0069N_f \\ 0.1528 & 1.84(18) - 0.0239N_f \end{pmatrix} \begin{pmatrix} \overline{\mathcal{T}}_Q^{\text{lat}} \\ \overline{\mathcal{T}}_G^{\text{lat}} \end{pmatrix} + O(g^4),$$

the traceless diagonal part